

Accelerating the Convex Hull Computation with a Parallel GPU Algorithm

1st Alan Keith

Instituto de Informática
Universidad Austral de Chile
Valdivia, Chile
alan.keithpaz@gmail.com

2nd Héctor Ferrada

Instituto de Informática
Universidad Austral de Chile
Valdivia, Chile
hferrada@inf.uach.cl

3rd Cristóbal A. Navarro

Instituto de Informática
Universidad Austral de Chile
Valdivia, Chile
cnavarro@inf.uach.cl

Resumen—The convex hull is a fundamental geometrical structure for many applications where groups of points must be enclosed or represented by a convex polygon. Although efficient sequential convex hull algorithms exist, and are constantly being used in applications, their computation time is often considered an issue for time-sensitive tasks such as real-time collision detection, clustering or image processing for virtual reality, among others, where fast response times are required. In this work we propose a parallel GPU-based adaptation of heaphull, which is a state of the art CPU algorithm that computes the convex hull by first doing an efficient filtering stage followed by the actual convex hull computation. More specifically, this work parallelizes the filtering stage, adapting it to the GPU programming model as a series of parallel reductions. Experimental evaluation shows that the proposed implementation significantly improves the performance of the convex hull computation, reaching up to $4\times$ of speedup over the sequential CPU-based heaphull and between $3\times \sim 4\times$ over existing GPU based approaches.

Index Terms—Convex hull, GPU Computing, Filtering, Parallel Reduction, Warp Shuffle

I. INTRODUCCIÓN

El cómputo de la cerradura convexa, o *convex hull* en inglés, es una tarea fundamental y de suma importancia para diversas aplicaciones de la ciencia y tecnología, como por ejemplo en geometría computacional, gráfica computacional y modelamiento de formas, entre otras. El convex hull es requerido frecuentemente para detección de colisiones, cálculo de interferencias, análisis de formas, reconocimiento de patrones, generación de estadísticas, sistemas de información geográfica, entre otras muchas disciplinas [1], [2], [13].

La convexidad es una propiedad relevante para variadas ramas de la ciencia que requieren de análisis geométrico. Una cerradura, que contiene un conjunto de puntos, es convexa si para todo par de puntos pertenecientes a esta, el segmento de línea recta que los une está completamente dentro de ella [4]. Uno de los primeros problemas identificados en el campo de la geometría computacional es el de calcular la forma convexa más pequeña, llamada convex hull, que encierra un conjunto de puntos [5]. Así, dado un conjunto de puntos en un espacio en d dimensiones, el convex hull es su mínimo subconjunto convexo que contiene todos los puntos, tal como se muestra en la Figura 1. En otras palabras, dado un conjunto de puntos S , definimos que $CH(S)$ es la envolvente o cierre convexo de S si i) $CH(S)$ es convexo, ii) S está contenido en $CH(S)$ y iii)

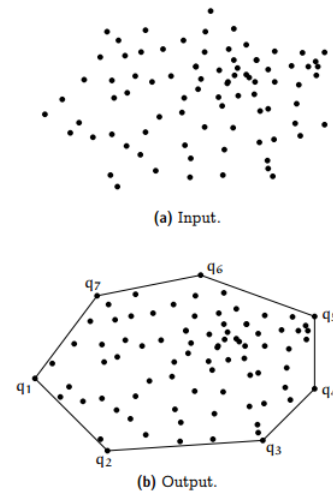


Figura 1. Cálculo del Convex Hull

$CH(S)$ es el menor conjunto convexo que contiene a S . Para el caso de 2 dimensiones ($2D$), el convex hull corresponde al polígono convexo más pequeño que contiene a todos los puntos del conjunto. Intuitivamente podemos definir al convex hull como “si S es un conjunto finito de puntos en el plano e imaginamos rodear el conjunto con una banda elástica; cuando se suelte el elástico este asumirá la forma del convex hull” [5].

El cómputo del convex hull suele realizarse directamente sobre los puntos de entrada. Sin embargo, en muchos casos — dependiendo de la instancia de entrada — es conveniente primero realizar un filtrado de puntos, descartando elementos que son evidentemente innecesarios para el proceso final. Lo anterior da lugar a las siguientes dos etapas:

1. **Filtrado.** Este paso consiste en descartar el máximo número de puntos que evidentemente no pertenecen al convex hull, por medio de una validación matemática de bajo costo computacional; esto incluye a puntos que están sobre alguno de los lados de este polígono y no son vértices del segmento de recta.
2. **Convex hull.** Recibe como entrada los puntos que han pasado el filtro de la etapa anterior y calcula el convex

hull con algún algoritmo tradicional. De esta forma, el posterior cálculo del convex hull es realizado con un número reducido de puntos, siempre y cuando el paso anterior haya logrado descartar algunos puntos, acelerando y simplificando la selección de puntos del convex hull. El cálculo en sí es realizado por algoritmos conocidos como Graham Scan [6], Jarvis March [7] u otro.

I-A. Algoritmos para el cómputo del convex hull

El problema de calcular el convex hull de un conjunto de puntos ha sido ampliamente estudiado en la geometría computacional. Se han propuesto muchos algoritmos teóricamente óptimos para conjuntos de puntos de baja y alta dimensión. Este fue uno de los primeros problemas en el campo a ser estudiado desde el punto de vista de la complejidad computacional, determinando que el tiempo asintótico óptimo para todo algoritmo basado en comparaciones dentro del modelo RAM¹, es de $O(n \log n)$, donde n es la cantidad de puntos de entrada [4], [8]. Además, mediante un proceso lineal, es posible reducir el problema de ordenar n puntos a encontrar el convex hull en este mismo conjunto; confirmando que la envolvente convexa se puede calcular en un tiempo óptimo de $O(n \log n)$, ya que esta es la cota inferior al problema de ordenamiento. La Tabla I muestra los tiempos asintóticos de los algoritmos de convex hull históricamente más conocidos para dos dimensiones. Consideremos n el número de puntos en el conjunto de entrada, h el número de vértices del polígono de salida. Nótese que $h \leq n$, por lo que $nh \leq n^2$.

Cuadro I
TIEMPOS DE ALGORITMOS PARA EL CÁLCULO DEL CONVEX HULL EN 2D.

Algoritmo	Tiempos	Autor
Fuerza Bruta	$O(n^4)$	Anónimo
Gift Wrapping	$O(nh)$	Chand & Kapur, 1970
Graham Scan	$O(n \log n)$	Graham, 1972
Jarvis March	$O(nh)$	Jarvis, 1973
QuickHull	$O(nh)$	Eddy, 1977, Bykat, 1978
Divide-and-Conquer	$O(n \log n)$	Preparata & Hong, 1977
Monotone Chain	$O(n \log n)$	Andrew, 1979
Incremental	$O(n \log n)$	Kallay, 1984
Marriage-before-Conquest	$O(n \log n)$	Kirkpatrick & Seidel, 1986

I-B. Algoritmo Heaphull

El trabajo de Ferrada et al. [3] está basado en el desarrollo de una técnica de optimización que reduce el costo computacional para construir el convex hull. Este método preprocesa el conjunto de puntos de entrada, filtrando todos los puntos dentro de un polígono de ocho vértices en tiempo $O(n)$ y devuelve un conjunto reducido de puntos candidatos para encontrar el convex hull, los cuales se encuentran semi ordenados y distribuidos en cuatro colas de prioridad (una para cada cuadrante).

¹Bajo el modelo de costos RAM, es posible realizar cualquier cálculo matemático simple entre dos palabras de memoria, de tamaño $O(\log n)$ bits, en tiempo constante.

Los resultados experimentales muestran que en el peor de los casos (cuando todos los puntos se encuentran sobre una circunferencia) un pequeño desplazamiento radial aleatorio de los puntos hace de este método el más rápido. Además, al aumentar la magnitud de este desplazamiento, el rendimiento del método propuesto escala a un ritmo más rápido que las otras implementaciones testeadas. En términos de eficiencia de memoria, esta implementación logra usar de $3\times$ a $6\times$ menos memoria que otros métodos.

Este algoritmo es esencialmente una técnica de filtrado que se conforma de cuatro etapas relevantes, (1) construcción de un octágono con los puntos extremos, (2) filtrado de puntos y agrupación en colas de prioridad, (3) ordenamiento parcial y (4) cálculo del convex hull. Las primeras tres etapas toman tiempo $O(n)$, mientras que la etapa de cálculo del convex hull toma $O(n' \log n')$, donde n' es el tamaño del conjunto filtrado $P' \subseteq P$. El Algoritmo 1 muestra la idea de heaphull.

Algorithm 1 heaphull, Ferrada et al. [3]. To compute the convex hull $CH[1..h]$ in 2D

Require: n points in 2D, stored in an array $P[1..n]$.
Ensure: an array $CH[1..h]$ with the h points of the hull in counter-clockwise order.

```

1: procedure HEAPHULL( $P, n$ )
2:    $E \leftarrow \text{FINDEXTREMES}(P, n)$   $\triangleright$  find extreme points ( $O(n)$  time)
3:    $n_1 = n_2 = n_3 = n_4 = 0$   $\triangleright$  counter for the 4 priority queues  $Q_i$ 
4:   for  $j = 1$  to  $n$  do
5:     if  $P[j]$  is outside the convex octagon  $CP(E)$  then
6:        $i \leftarrow \text{FINDQUEUE}(P, n, j)$   $\triangleright$  find  $Q_i$  for  $P[j]$ 
7:       store  $j$  in the priority queue  $Q_i$ 
8:        $n_i \leftarrow n_i + 1$ 
9:     end if
10:  end for
11:   $CH \leftarrow \emptyset$ 
12:  for  $i = 1$  to 4 do  $\triangleright$  add the CH for points of  $Q_i$  ( $O(n_i \log n_i)$ 
    time)
13:     $CH \leftarrow CH \cup \text{HULL}(Q_i, n_i)$ 
14:  end for
15:  return  $CH$ 
16: end procedure

```

I-C. Paralelismo GPU en el cómputo del Convex Hull

Las GPU (Graphic Process Unit) se han utilizado para acelerar el rendimiento de diversas aplicaciones, como la simulación de partículas, el modelado molecular y el procesamiento de imágenes. La arquitectura GPU esta basada en el paralelismo masivo, proporcionando cientos de cores (elementos de procesamiento), donde cada core es un procesador pipeline multi-etapa. Los cores se agrupan para generar un multiprocesador (SM) de caracter SIMD al nivel de grupos de 32 threads. Cada SM tiene su propio conjunto de registros y memoria local, y los cores dentro del mismo SM tienen memoria compartida limitada.

Este trabajo propone una adaptacion del algoritmo heaphull al modelo de programacion GPU, para acelerar su rendimiento y aprovechar el paralelismo de datos disponible en la etapa de filtrado. En particular se busca responder las siguientes preguntas:

- ¿Cuánto mejora el desempeño de la etapa de filtrado al paralelizar en GPU el algoritmo heaphull?
- Al paralelizar heaphull ¿Se logra que el algoritmo sea más eficiente que otros que ya usan paralelismo?

El resto de este artículo se divide en 5 secciones. En la primera sección se describe el trabajo relacionado, considerando especialmente los algoritmos que realizan un esfuerzo por paralelizar la etapa de filtrado. Para esto se clasificaron en algoritmos secuenciales tradicionales, algoritmos secuenciales que explotan el filtrado previo, algoritmos paralelos de filtrado en CPU y algoritmos paralelos de filtrado en GPU. En la segunda sección se define en detalle la metodología de investigación implementada. En la sección 3 se presenta el diseño del algoritmo paralelo en CPU y en GPU. En la sección 4 se presentan los resultados de rendimiento (speedup, eficiencia y comparación entre CPU y GPU). Finalmente en la sección 5 se desarrollan las conclusiones.

II. TRABAJO RELACIONADO

Existen varios métodos prácticos conocidos e implementaciones de software robustas que abordan el cómputo del convex hull de manera secuencial. Desde 1970 se han desarrollado varios algoritmos clásicos [9], como Graham scan [6], Gift wrapping [7], Incremental method [10], Divide-and-Conquer [11], Monotone chain [12], and Quick-Hull [13].

II-A. Convex hull con etapa de filtrado

Realizar un filtrado eficiente del conjunto de puntos puede tener un gran impacto en el tiempo final de cálculo. Vyšniauskaitė [14] en 2006 propuso una idea de la filtración a priori de puntos, presentado dos nuevos algoritmos basados en la búsqueda de puntos extremos y en la subdivisión del conjunto de puntos en arreglos más pequeños.

También Sharif [15] el 2011 propone un método híbrido para calcular el convex hull, basado en dos algoritmos ya existentes, es decir, Quickhull y GrahamScan, intentando eliminar las deficiencias en las dos técnicas mencionadas anteriormente usando el primero para realizar un filtrado y realizando el cálculo final con el segundo de estos.

II-B. Convex hull paralelo

Para mejorar la eficiencia computacional del convex hull se han hecho algunas contribuciones valiosas rediseñando e implementando algoritmos de convex hull secuenciales en paralelo, explotando el potencial de cálculo masivo de las GPU. La mayoría de estas implementaciones se han desarrollado teniendo como base el algoritmo QuickHull [9].

II-B1. Paralelismo en CPU: Como se muestra la publicación de Chen y otros [16] el convex hull puede ser calculado de forma paralela en el modelo PRAM (Máquina de acceso aleatorio paralelo), siendo el algoritmo directamente implementable en CPUs multicore.

En 1987 Goodrich [17] diseñó un algoritmo paralelo para encontrar el convex hull que se ejecuta en tiempo $O(\log n)$ utilizando $O(n/\log n)$ procesadores en el modelo computacional CREW (concurrent read and exclusive write) PRAM, que

es óptimo. Una de las técnicas que utilizan para alcanzar estos límites óptimos es el uso de una estructura de datos paralela que llaman “hull tree”.

Miller [18] en 1988 presentó algoritmos paralelos para identificar los puntos extremos del convex hull, concentrándose en el desarrollo de estos en tiempo polilogarítmico para una variedad de máquinas paralelas y analizándolos usando notación O . Asimismo, Liu [19] en 2015 hace una revisión completa de los algoritmos paralelos existentes a la fecha, categorizándolos según su arquitectura y considerando sus tiempos de ejecución en notación O y el número de procesadores necesarios para esto.

Berkman [20] en 1996 desarrolló un algoritmo paralelo para encontrar el convex hull en tiempo $O(\log \log n)$ usando $n/\log \log n$ procesadores en una arquitectura PRAM CRCW (Concurrent read concurrent write) común. Para romper la barrera de tiempo $\Omega(\log n/\log \log n)$ requerida para generar el convex hull, introduce una estructura de datos, un árbol balanceado de altura doblemente logarítmica y usa este para representarlo. El algoritmo demuestra el poder del “paradigma doblemente logarítmico de divide y vencerás”.

Nakagawa [21] presentó una implementación de algoritmo paralelo simple para calcular el convex hull y evaluar el rendimiento en los procesadores de cuatro núcleos duales, logrando un factor de aceleración de aproximadamente 7 utilizando 8 procesadores. Como el factor de aceleración de más de 8 no es posible, su implementación paralela para calcular el convex hull es casi óptima.

Waghmare [22] presenta un algoritmo de convex hull usando clustering K-means, en el que los puntos en 2D se agrupan en clusters diferentes y luego se calculan los convex hull para cada uno de estos. El algoritmo se implementa en modo MPI, OpenMP e híbrido. Los resultados indican que el enfoque híbrido supera al enfoque MPI y OpenMP por separado.

II-B2. Paralelismo en GPU: El trabajo relacionado en computación paralela para el cálculo del convex hull en GPU muestra que se puede alcanzar mejor velocidad y rendimiento, como se evidencia en el trabajo de Tang et al. [23], y Jiayin et al [9]. Estos algoritmos basados en GPU trabajan sobre la optimización del filtrado de puntos, realizando la etapa posterior de cálculo en forma secuencial.

Srungarapu et al. [24] propuso en 2011 una implementación optimizada en GPU para encontrar el convex hull para conjuntos de puntos de dos dimensiones. Su implementación trata de minimizar el impacto de los patrones de acceso irregular a los datos, logrando un speedup de hasta 14 veces sobre la implementación estándar secuencial en CPU.

En 2011 Jurkiewicz y Danilewski [25] presentaron una propuesta de implementación de algoritmo de cálculo del convex hull implementada en su totalidad en GPU, sin filtrado y basado en 3 algoritmos secuenciales distintos, con pruebas experimentales con conjuntos de entrada de 10^7 puntos, obteniendo resultados en reducción de tiempo de hasta 100 veces para el máximo de puntos al compararse con una librería que utiliza algoritmos similares, pero que su desempeño se encuentra muy por debajo de la media.

Mei G. [26] en 2016 propuso una versión paralela en CUDA (GPU) para el cálculo de convex hull para dos [27] y tres [28] dimensiones, alcanzando aceleraciones de aproximadamente $4x$ en promedio y $5x \sim 6x$ en los mejores casos, la cual llama CudaChain. Realizando solo una mejora de filtrado, afirma que el 95% de puntos de entrada se pueden descartar en la mayoría de las pruebas experimentales. Anterior a esto, usó GPUs para mejorar la fase de filtrado en la búsqueda de puntos extremos sobre datos sintéticos y con el uso de la biblioteca qhull (implementación de Quickhull en C++), la idea básica era descartar los puntos que se ubican dentro de un polígono convexo formado por 16 extremos [29].

Por otro lado, Stein [30] en 2012 hizo una versión paralela para el convex hull en 3 dimensiones que se basa en el enfoque QuickHull y comienza construyendo un tetraedro inicial utilizando cuatro puntos extremos, descarta los puntos internos y distribuye los puntos externos a las cuatro caras y continúa luego iterativamente. En su trabajo, Stein afirma que su implementación superó al Qhull basado en CPU en 30 veces para 10 millones de puntos y 40 veces para 20 millones de puntos.

En 2020 Masnadi [31] presenta ConcurrentHull, una nueva técnica basada en el filtrado de puntos para conjuntos de datos 2D y 3D. Su implementación, que es una combinación de filtrado, divide y vencerás, y computación paralela, permite ser empleada en un entorno de computación distribuida. Su algoritmo tiene una versión para CPU y otra para GPU (CUDA). Los resultados muestran que tiene una ganancia de rendimiento con grandes tamaños de datos de entrada y tiene la ventaja de poder manejar grandes conjuntos de datos.

Si bien las soluciones propuestas informan un speedup importante para las condiciones establecidas para las pruebas, nuestro trabajo busca no solo mejorar los tiempos de ejecución si no ponemos especial atención en el porcentaje de filtrado a obtener en la fase paralela, lo cual tiene el mayor impacto en el tiempo de cálculo posterior. Nuestro trabajo compara las dos soluciones más actuales (CudaChain y ConcurrentHull) con la nuestra (GPU Heaphull), comparando la solución en el peor caso y en el caso promedio.

III. PARALELIZACIÓN DEL ALGORITMO HEAPHULL

El primer paso de la versión paralela consiste en encontrar los cuatro puntos extremos en las direcciones norte, sur, este y oeste del conjunto de puntos y formar el cuadrilátero que definen. Tras este paso, se tienen puntos distribuidos en cuatro regiones, formadas por los puntos fuera del cuadrilátero. En cada uno de ellas existe un punto que es el más cercano a la esquina correspondiente. Tras la obtención de estos cuatro puntos adicionales, se obtiene un octágono que divide los puntos restantes externos en ocho regiones que se pueden tratar individualmente siguiendo la misma regla.

La paralelización en GPU se realiza acelerando la reducción de mínimos y máximos para formar el polígono de filtrado, usando el enfoque de Shuffle Warp Reduce, el cual permite que conjuntos de 32 threads, llamados *warps*, puedan comunicar sus registros de forma eficiente.

A diferencia de la versión tradicional de heaphull, que implementa la búsqueda de los 8 puntos en cada paso del bucle, en la versión GPU se ejecuta un *kernel* de reducción para encontrar los primeros 4 puntos extremos, seguido de un segundo *kernel* de reducción para encontrar los 4 puntos de las esquinas. La razón de por qué se deben ejecutar dos *kernels* en sucesión es debido a que la búsqueda de los puntos secundarios requiere de los primeros 4 puntos.

En el segundo paso de la búsqueda de los puntos de esquina, se utilizan distancias de Manhattan, es decir, para cada esquina $c_i, 1 \leq i \leq 4$, se encuentra el punto en P que minimiza la suma de las distancias vertical y horizontal a la esquina correspondiente. Si bien la distancia de Manhattan es una métrica que puede entregar puntos más distantes a la esquina que la distancia Euclidiana, esto tiende a ocurrir con baja frecuencia, y cuando ocurre, se puede ver que el punto elegido todavía se encuentra muy cerca del más cercano por distancia Euclidiana [3]. La ventaja de usar la distancia Manhattan es que no requiere del cómputo de raíces cuadradas, lo cual lo convierte en una métrica más rápida de calcular que la distancia euclidiana.

En el paso siguiente se realiza el descarte de los puntos que deben ser filtrados y se crean las colas. Para la creación de las 4 colas se usa un arreglo donde se asigna el número de cola (1, 2, 3 o 4) a la posición donde se encuentra un punto que si pertenece a la cola respectiva y un 0 cuando ha sido descartado. Luego, en la CPU se crean las 4 colas con los respectivos índices guardados para ser entregadas a la sección correspondiente del algoritmo secuencial heaphull.

El Algoritmo 2 muestra los pasos computacionales del proceso.

Algorithm 2 GPUfilter. Para calcular el octágono de filtrado de $P[1..n]$ en $2D$

Require: n valores de punto flotante, en $2D$, almacenados en un arreglo $P[1..n]$.

Ensure: un arreglo $Q[1..n]$ con los índices de la cola a la que pertenece cada uno de los puntos.

```

1: procedure GPUFILTER( $P, n$ )
2:    $E \leftarrow \text{FINDEXTREMES}(P, n)$  ▷ extremos en tiempo  $O(n)$ 
3:   Sea  $Q[]$  un arreglo de  $n$  enteros
4:   for  $j = 1$  to  $n$  do
5:     if  $P[j]$  está fuera del octágono  $CP(E)$  then
6:       ▷ encuentra  $Q_i$  para  $P[j]$  (tiempo  $O(1)$ )
7:        $i \leftarrow \text{FINDQUEUE}(P, n, j)$ 
8:        $Q[j] = i$ 
9:     end if
10:  end for
11:  return  $Q$ 
12: end procedure

```

Como referencia, también se implementó una versión paralela de heaphull en CPU multi-core. Se probaron dos versiones; una con el patrón *reduce* de OpenMP para mínimos y máximos, y otra usando la técnica de *divide and conquer*. Comparaciones de rendimiento mostraron que esta última logra mayor aceleración, de hasta $3x$ para el filtrado, siendo la escogida.

IV. EVALUACIÓN EXPERIMENTAL

A fin de comparar experimentalmente el desempeño de nuestra solución paralela en GPU, incluimos como baseline las implementaciones de: heaphull tradicional [3], CudaChain [26] y ConcurrentHull [31]; este último permite el manejo de una mayor cantidad de puntos y consigue mejores resultados en esas condiciones. Para las pruebas se utilizó un computador con Procesador Intel®Core™i5-8300H CPU (2.30GHz × 8), 8 GB de memoria RAM, tarjeta gráfica NVIDIA GeForce GTX 1050 Ti, CUDA Version 11.6 en Ubuntu 20.04 LTS.

IV-A. Tiempos de Ejecución

Para cada implementación se crean tests puntos de tamaños desde 10^4 hasta 10^8 . Cada test se ejecuta 100 veces y se calcula el tiempo promedio de ejecución en cada algoritmo.

Los tiempos promedio de búsqueda de puntos extremos para las pruebas experimentales en las versiones de heaphull secuencial, paralelo en CPU y paralelo en GPU se pueden ver en la Tabla II y en el gráfico de la Figura 2. Los resultados de heaphull paralelo CPU solo son una referencia; los gráficos futuros solo usan la versión secuencial (Heaphull CPU).

Cuadro II
TIEMPO PROMEDIO DE BÚSQUEDA DE PUNTOS EXTREMOS EN MS.

Puntos	Tiempo CPU	Tiempo CPU Paralelo	Tiempo GPU
10^4	0,0460	0,1000	0,0433
10^5	0,4600	0,4000	0,0814
10^6	5,0120	2,4000	0,8505
10^7	56,8020	18,0000	6,9785
10^8	793,7420	289,1300	67,0598

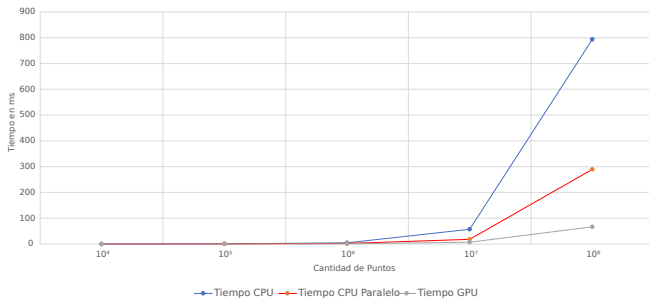


Figura 2. Tiempos promedio de filtrado para las versiones secuencial, paralela en CPU y paralela en GPU.

IV-A1. Desempeño caso Promedio (Dist. Normal): En la Tabla III se pueden ver los tiempos de cálculo de la versión secuencial de heaphull, CudaChain, ConcurrentHull y nuestra implementación en GPU, en milisegundos para 10^4 a 10^8 puntos. Nuestra solución es la que obtiene mejores tiempos en los casos con 10^5 puntos o más. En la Figura 3 podemos ver el gráfico de los tiempos en milisegundos para el cálculo de convex hull en las cuatro implementaciones anteriores.

El Speedup obtenido se puede ver en la Tabla IV y en la Figura 4, pudiendo identificarse que al trabajar con 10^8 puntos se logra una disminución de tiempo de hasta $4,4\times$ respecto al

Cuadro III

TIEMPO PROMEDIO CÓMPUTO DEL CONVEX HULL EN EL CASO PROMEDIO.

Puntos	Heaphull	CudaChain	ConcurrentHull	GPU HH
10^4	0,1201	6,4803	882,0300	0,1575
10^5	1,2014	12,0930	902,0700	0,9940
10^6	12,0824	24,1600	956,3200	7,0058
10^7	139,9730	224,2051	1211,6300	35,1825
10^8	2054,5416	1517,1612	2201,5500	464,8182

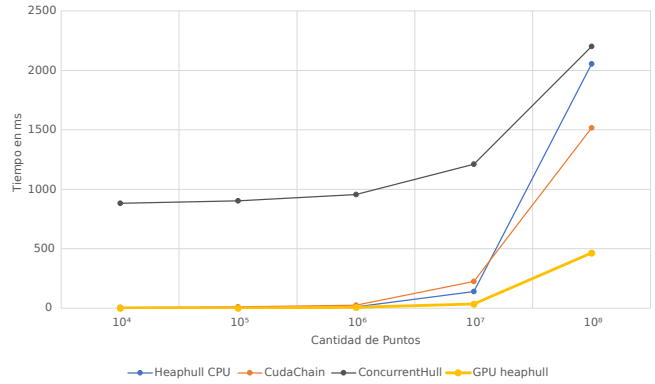


Figura 3. Tiempos para el cómputo del convex hull en el caso promedio

algoritmo secuencial de heaphull y de $3,2\times$ respecto a CudaChain, el cual ya logra un speedup de hasta $6\times$ comparado con la librería de Quickhull (Qhull en C++). No se considera en el gráfico el speedup frente a ConcurrentHull de menos de 10^7 puntos para poder mantener una escala apreciable.

Cuadro IV
SPEEDUP SOLUCIÓN DESARROLLADA SOBRE HEAPHULL, CUDACHAIN Y CONCURRENTHULL, CASO PROMEDIO.

Puntos	Heaphull	CudaChain	ConcurrentHull
10^4	0,7625	41,1448	5600,1905
10^5	1,2087	12,1660	907,5151
10^6	1,7246	3,4486	136,5040
10^7	3,9785	3,5303	34,4384
10^8	4,4201	3,2640	4,7364

En relación al porcentaje de filtrado de puntos, heaphull secuencial y la versión en GPU de este logran porcentajes para puntos provenientes de una distribución normal sobre el 99,99 % en promedio (igual porcentaje para mismos puntos de entrada). En el caso de CudaChain logra un filtrado de 98,86 % en promedio en el mejor caso (10^8 puntos de entrada) y en el peor caso para este (10^4 puntos de entrada) llega a un 91,6 %, mientras que heaphull en sus dos versiones logra un 99,87 % para esa misma cantidad de puntos.

IV-A2. Desempeño Peor Caso (Circunferencia): Para el peor caso (los puntos sobre la circunferencia) con 10^7 puntos nuestra implementación paralela en GPU demora en encontrar el convex hull 6104,58 ms, sin embargo con 2 % de distorsión el tiempo disminuye a 4973,3 ms; el primero representa un speedup de 0,96 respecto del algoritmo secuencial de heaphull, sin embargo en el segundo caso se obtiene un speedup de 1,41.

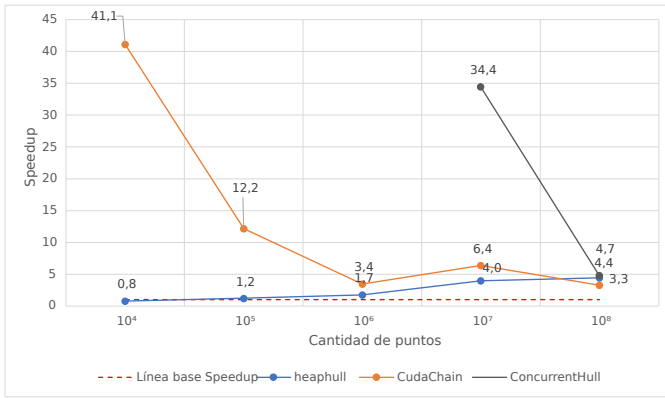


Figura 4. Speedup implementación desarrollada sobre heaphull, CudaChain y ConcurrentHull, caso promedio.

Para 10^8 puntos el speedup es de 1,04 en el peor caso. En la Tabla V se encuentran los tiempos de ejecución en el peor caso. En la figura 5 se puede ver el gráfico con los tiempos de para cada versión.

Cuadro V
TIEMPOS PARA EL CÓMPUTO DEL CONVEX HULL EN EL PEOR CASO.

Puntos	Heaphull	CudaChain	ConcurrentHull	GPU HH
10^4	1,0153	86,7300	90,0223	1,6400
10^5	15,0671	112,5680	96,3250	23,6950
10^6	241,7010	445,2650	1256,3600	427,0750
10^7	5861,8900	6459,5251	6201,5522	6104,5800
10^8	95278,10	121426,00	123045,20	91559,80

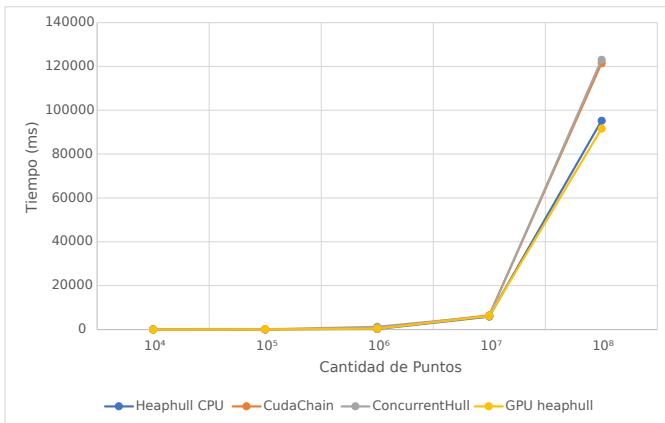


Figura 5. Tiempos de cómputo del convex hull en el peor caso

Con una distorsión de sólo 2%, los porcentajes de filtrado para 10^8 puntos se mantienen en 10.50% en promedio, con tiempos de ejecución del algoritmo completo similares al caso promedio. La versión codificada del algoritmo tiene un comportamiento con un speedup no relevante cuando se trata de cantidades de puntos inferiores a los 10^7 puntos. Además, cuando se trata del peor caso no hay una mejora significativa respecto a la versión secuencial.

En general, los mejores tiempos se logran al trabajar con 10^7 y 10^8 puntos, en estos casos el speedup es mayor a 4x.

V. DISCUSIÓN Y CONCLUSIONES

Nuestro trabajo presenta un implementación paralela en GPU basada en el algoritmo heaphull que mejora el tiempo de filtrado y el tiempo total de cálculo del convex hull, manteniendo las mismas garantías asintóticas óptimas del algoritmo tradicional para $2D$. El algoritmo se basa en realizar un filtrado con un octágono que permite descartar todos los puntos que se encuentran en su interior y lograr en el caso promedio filtrar el 99,99% de los puntos del conjunto de entrada, quedando una cantidad muy reducida de puntos para el cálculo del convex hull; conservando así la eficiente del filtrado del algoritmo heaphull original.

El mayor impacto en desempeño se logra al trabajar con grandes volúmenes de puntos de entrada (sobre 10^7), siendo un aporte importante en esta arista para el cálculo del convex hull, lo que es característico en la presente era del Big Data.

En comparación con otras implementaciones en GPU se obtienen mejores tiempos totales, considerando que se está trabajando sobre un algoritmo que ya resulta ser el más rápido secuencial y en $2D$, esto es un importante aporte al desarrollo futuro de implementaciones que puedan requerir el cálculo en tiempo real de grandes volúmenes de puntos.

Dentro de las limitaciones de la solución propuesta se encuentra el uso de memoria de GPU, el cual se ve aumentado por la necesidad de crear arreglos para almacenar los índices que son resultado de las reducciones para poder conservar el arreglo original de puntos de entrada.

Como trabajo futuro tenemos previsto ofrecer un nuevo diseño e implementación del convex hull con algoritmos que sean paralelizables (Jarvis March, Quickhull, Kirkpatrick–Seidel, Chan’s algorithm) para comprobar si alguno de ellos, a pesar de aumentar la complejidad del algoritmo, puede lograr mejores tiempos aún al aprovechar el paralelismo de la GPU. Por otra parte, la implementación de la solución para más dimensiones puede ser un importante aporte, por sobre todo en $3D$, pero se debe considerar que el tamaño requerido de memoria crece en potencias según la cantidad de dimensiones, lo cual puede dificultar el cálculo de grandes volúmenes de datos en la GPU.

También en el trabajo futuro está, siguiendo el modelo de heaphull, el uso eficiente de memoria, lo cual podría ser un importante aporte de la mano de grandes volúmenes de datos, logrando data más compacta y facilitando el cálculo de mayores números de datos.

REFERENCIAS

- [1] J. O’Rourke: Finding minimal enclosing boxes, Int. J. Comput. Inf. Sci. 14 (3) (1985) 183–199, <http://dx.doi.org/10.1007/BF00991005>.
- [2] M.C. Lin, U.D. Manocha, J. Cohen: Collision detection. Algorithms and applications, 1996.
- [3] Héctor Ferrada, Cristobal Navarro and Nancy HITSCHFELD: A filtering technique for fast convex hull construction in \mathbb{R}^2 . Computational and Applied Mathematics Journal, 364:112298, 2019.
- [4] Cormen T H., Leiserson Ch. E., Rivest R. L. and Stein C.: Introduction to Algorithms, Second Edition. MIT Press and McGraw-Hill (2001). Section 33.3: Finding the convex hull, 947–957.

- [5] Preparata F.P., Shamos M.I. (1985) Convex hulls: basic algorithms. In: Computational Geometry. Texts and Monographs in Computer Science. Springer, New York, NY
- [6] Graham, R. L.: An efficient algorithm for determining the convex hull of a planar set, Information Processing Letters I (1972) 132-133.
- [7] Jarvis, R. A.: On the identification of the convex hull of a finite set of points in the plane. Information Processing Letters, 2(1):18–21 (1973)
- [8] Akl, S. G., “Optimal parallel algorithms for computing convex hulls and for sorting”, Computing (1984) 33: 1. <https://doi.org/10.1007/BF02243071>, pages 1-11.
- [9] Jiayin, Zhang & Mei, Gang & Xu, Nengxiong & Yang, Kun.: A Novel Implementation of QuickHull Algorithm on the GPU. arxiv (2015)
- [10] Kallay, M.: The complexity of incremental convex hull algorithms in R^d , Information Processing Letters, Volume 19, Issue 4, 1984, Page 197.
- [11] F. P. Preparata and S. J. Hong.: Convex hulls of finite sets of points in two and three dimensions. Commun. ACM 20, 2 (February 1977), 87-93.
- [12] Andrew, A. M.: Another efficient algorithm for convex hulls in two dimensions, Information Processing Letters, 9(5):216–219 (1979).
- [13] Barber, C. Bradford and Dobkin, David P. and Huhdanpaa, Hannu.: The Quickhull Algorithm for Convex Hulls, ACM Trans. Math. Softw.,22(4),469-483(1996)
- [14] Vyšniauskaitė, Laura & Šaltenis, Vydūnas. (2006). A priori filtration of points for finding convex hull. Technological and Economic Development of Economy. 12. 341-346. 10.3846/13928619.2006.9637764.
- [15] Sharif, Muhammad. (2011). A new approach to compute convex hull. Innovative Systems Design and Engineering. 2. 187-193.
- [16] Chen W., Nakano K., Masuzawa T., and Tokura N., “Optimal parallel algorithms for computing convex hulls,” IEICE Transactions, vol. J75-D1, no. 9, pp. 809–820, 1992.
- [17] Goodrich Michael T., Finding the convex hull of a sorted point set in parallel, Information Processing Letters, Volume 26, Issue 4, (1987), Pages 173-179, ISSN 0020-0190, [https://doi.org/10.1016/0020-0190\(87\)90002-0](https://doi.org/10.1016/0020-0190(87)90002-0).
- [18] Miller R. and Stout Q. F. , “Efficient parallel convex hull algorithms,in IEEE Transactions on Computers, vol. 37, no. 12, pp. 1605-1618, Dec. 1988. doi: 10.1109/12.9737
- [19] Liu, Jigang, “Parallel Algorithms for Constructing Convex Hulls.”(1995). LSU Historical Dissertations and Theses. 6029. https://digitalcommons.lsu.edu/gradschool_disstheses/6029
- [20] Berkman O., Schieber B., Vishkin U., “A fast parallel algorithm for finding the convex hull of a sorted point set”, Internat. J Comput. Geom. Appl. 6, pp. 231-242, 1996.
- [21] M. Nakagawa, D. Man, Y. Ito and K. Nakano, “A Simple Parallel Convex Hulls Algorithm for Sorted Points and the Performance Evaluation on the Multicore Processors,”2009 International Conference on Parallel and Distributed Computing, Applications and Technologies, Higashi Hiroshima, 2009, pp. 506-511.
- [22] V. N. Waghmare and D. B. Kulkarni, “Convex Hull Using K-Means Clustering in Hybrid (MPI/OpenMP) Environment,”2010 International Conference on Computational Intelligence and Communication Networks, Bhopal, 2010, pp. 150-153. doi: 10.1109/CICN.2010.40
- [23] Tang, Min & Zhao, Jie-Yi & Tong, Ruo-feng & Manocha, Dinesh.: GPU accelerated convex hull computation. Computers & Graphics. 36. 498–506 (2012)
- [24] S. Srungarapu, D. P. Reddy, K. Kothapalli and P. J. Narayanan, “Fast Two Dimensional Convex Hull on the GPU,”2011 IEEE Workshops of International Conference on Advanced Information Networking and Applications, Singapore, 2011, pp. 7-12. doi: 10.1109/WAINA.2011.64
- [25] Jurkiewicz, T., & Danilewski, P. (2011). Efficient Quicksort and 2D Convex Hull for CUDA, and MSIMD as a Realistic Model of Massively Parallel Computations.
- [26] Mei, Gang. (2016). CudaChain: an alternative algorithm for finding 2D convex hulls on the GPU. SpringerPlus. 5. 1-26. 10.1186/s40064-016-2284-4.
- [27] Mei, Gang & Sixu, Guo. (2017). CudaPre2D: A Straightforward Pre-processing Approach for Accelerating 2D Convex Hull Computations on the GPU*. 10.1109/PDP2018.2018.00119.
- [28] Mei, Gang & Xu, Nengxiong. (2015). CudaPre3D: An Alternative Preprocessing Algorithm for Accelerating 3D Convex Hull Computation on the GPU. Advances in Electrical and Computer Engineering. 15. 35-44. 10.4316/AECE.2015.02005.
- [29] Mei, Gang. (2014). A Straightforward Preprocessing Approach for Accelerating Convex Hull Computations on the GPU. arXiv preprint arXiv:1405.3454.
- [30] Stein A., Geva E., El-Sana J.: CudaHull: Fast parallel 3D convex hull on the GPU, Computers & Graphics, Volume 36, Issue 4 (2012) Pages 265-271,ISSN 0097-8493, <https://doi.org/10.1016/j.cag.2012.02.012>.
- [31] Masnadi, Sina & LaViola, Joseph. (2020). ConcurrentHull: A Fast Parallel Computing Approach to the Convex Hull Problem. 10.1007/978-3-030-64556-4_46.